

Tavşanlarda deneysel pastörelloziste patolojik bulgular*

Murat YARIM

Ondokuz Mayıs Üniversitesi, Veteriner Fakültesi, Patoloji Anabilim Dalı, Samsun

Özet: Bu çalışmada, Yeni Zelanda Beyazı 6-8 haftalık tavşanlara intranasal, intratraheal ve intravenöz olarak tavşan orijinli *Pasteurella multocida* 3:A serotipi inoküle edildi. Hayvanlar inokülasyon sonrası 4-6, 8-10 ve 14. günlerde öldü ya da ötanazi uygulandı. Tüm dokular makroskopik ve mikroskopik olarak muayene edildi. Bunlara ilaveten, akciğer lezyonları elektron mikroskopik olarak incelendi. Akciğer lezyonları en fazla intratraheal inokülasyon grubunda, daha az olarak intranasal inokülasyon grubunda ve en az olarak da intravenöz olarak inoküle edilen tavşanlarda görüldü. *Pasteurella multocida* 3:A serotipi inoküle edilmiş tüm gruptarda özellikle aşağı solunum sistemi lezyonları şekillendi. Akciğer ve plöra lezyonları intranasal olarak inoküle edilmiş hayvanların %50'sinde, intratraheal olarak inoküle edilmiş hayvanların %75'inde ve intravenöz olarak inoküle edilmiş hayvanların ise %17'sinde görüldü. Tavşanlarda histolojik olarak şiddetli fibrinopurulent ve nekrotik pnömoni, fibrinopurulent plöritis ve fibrinopurulent perikarditse rastlandı. *Pasteurella multocida*'lara elektron mikroskopik olarak serbest halde alveol boşluklarında ve fagosite edilmiş halde kapillar lumenlerindeki ve alveol boşluklarındaki nötrofil granülositlerde rastlandı. Sonuç olarak, *Pasteurella multocida* 3:A serotipi tavşanlara hangi yolla inoküle edilirse edilsin pnömoni oluşturulabildiği fakat en etkili yolun intratraheal yol olduğu, bunu sırası ile intranasal ve intravenöz yolun izlediği belirlendi.

Anahtar sözcükler: Elektron mikroskopi, *Pasteurella multocida*, pastörellozis, tavşan

Pathological findings of experimental pasteurellosis in rabbits

Summary: In this study, three groups of New Zealand White rabbits, 6-8-week-old, were inoculated with *Pasteurella multocida* serotype 3:A strain of rabbit origin by routes of intranasal, intratracheal and intravenous inoculations, respectively. The animals died or killed after the 4-6, 8-10 and 14 days of observation periods were necropsied. All of tissues were examined macroscopically and microscopically. In addition, pulmonary lesions were examined with electron microscopically. Pneumonic lesions were detected most consistently in rabbits inoculated intratracheally. Intranasal inoculation was less effective than intratracheal inoculation. The lesions were minimal in intravenous dosed group. All of the routes of *Pasteurella multocida* serotype 3:A inoculations produced especially the lower respiratory tract lesions. Pulmonary lesions were observed in %50 of animal inoculated intranasally, %75 of animals inoculated intratracheally and %17 of animals inoculated intravenously. The histological examinations revealed severe fibrinopurulent and necrotic pneumoni, fibrinopurulent pleuritis and fibrinopurulent pericarditis. *Pasteurella multocida* were shown electron microscopically in free manner in alveolar spaces, in phagocytic vacuoles of cytoplasm of neutrophilic granulocytes in alveolar spaces and in alveolar capillary lumens. As a result, *Pasteurella multocida* 3:A serotype can induce pneumonia in rabbits through different routes of inoculation: intratracheal, intranasal, and intravenous. However, intratracheal inoculation is the most effective method to induce pneumonia while intranasal inoculation is the second most and intravenous inoculation is the least effective.

Key words: Electron microscopy, *Pasteurella multocida*, pasteurellosis, rabbit.

Giriş

Tavşanlarda pastörellozis terimi *Pasteurella multocida* tarafından oluşturulan hastalığı tanımlar. Tavşanlar *Pasteurella multocida* enfeksiyonlarına oldukça duyarlıdırlar ve hastalığa bağlı olarak rinitis, pnömoni, otitis media ve interna, konjunktivitis, çok sayıda organda apseler, genital sistem enfeksiyonları ve septisemi gibi birçok klinik form gelişir (Flatt, 1974).

Pnömonilerin tavşan kolonilerinde sıklıkla meydana geldiği, doğal enfeksiyonlarda ender olarak klinik

bulgularla karşılaşıldığı ve bazen akciğer apseleri, plöritis ve pyotoraksla birlikte görüldüğü bildirilmiştir (Flatt ve Dungworth, 1971a). Yapılan araştırmalar pnömonili tavşan akciğerlerinde en yaygın etiyolojik etkenin *Pasteurella multocida* olduğunu göstermiştir (Alexander ve ark., 1952; Hagen, 1958).

Pastörellozisin patogenezisi incelendiğinde farklı bulaşma yolları göze çarpmaktadır. Bunlar arasında doğal olgularda en çok aerosol ve oral yollar, patogenezise yönelik deneyel çalışmalarda ise çoğulukla intranasal,

* Aynı adlı doktora tezinden özetiştir. Tez çalışması için etik kurul onayı alınmıştır. Bu çalışma Ankara Üniversitesi Bilimsel Araştırma Projeleri Koordinasyon Birimi tarafından (Proje No: 96-30-00-10) desteklenmiştir.

intratraheal ve intravenöz yollar dikkati çekmektedir (DeLong ve Manning, 1994; Flatt ve Dungworth, 1971b; Glavits ve Magyar, 1990; Percy ve ark., 1986; Sokkar ve ark., 1987).

Redondo ve ark. (1990) *Pasteurella multocida* ile intratraheal yolla enfekte ettiğleri 25 tavşanın akciğerlerini morfometrik, histolojik ve ultrastruktural olarak incelemişlerdir. Ultrastruktural değerlendirmede tip I pnömonositlerde belirgin bir değişikliğin olmadığını, tip II pnömonositlerde özellikle lamellar cisimciklerde belirgin değişikliklerin bulunduğu, tip II pnömonositlerin alveol lumenine ve interalveoler septuma doğru genişlediklerini, hücrelerde dejenerasyon şekillendirdiğini ve lumene bakan kısımdaki plazma membranlarının küçük vakuoller içeren psödopodlara sahip olduğunu bildirmiştir.

Bu çalışma, farklı inokülasyon yolları kullanılarak oluşturulan tavşan pastörellozisinin patogenezisiyle ilgili yeni bilgilerin elde edilmesi, hastalık hakkında daha geniş ve kapsamlı bilgi sahibi olunması ve akciğer lezyonlarına ilişkin literatürdeki elektron mikroskopik bilgilere katkıda bulunulması amacıyla yapıldı.

Materyal ve Metot

Dene Hayvani: Bu çalışmada, özel bir işletmeden temin edilen 2-2.5 kg ağırlığında, 6-8 haftalık, 42 adet Yeni Zelanda ırkı tavşan kullanıldı. Bunların 6 adeti kontrol, 36 adeti ise deneme grubunu oluşturdu. Denemelere başlamadan önce hayvanların burun svapları alınarak kanlı agara inoküle edildi. İnkübasyonu takiben üreyen koloniler *Pasteurella multocida* yönünden biyokimyasal testlere tabi tutuldu. Çalışma süresince tüm tavşanlar ayrı kafeslerde tutuldu ve *ad libitum* olarak beslendi.

Suşun karakterizasyonu: Dr.Richard RIMLER (Midwest Area National Animal Disease Center, Ames, Iowa, ABD) 'den temin edilen tavşan orijinli *Pasteurella multocida* 3:A serotipi laboratuvara kültürel, morfolojik ve biyokimyasal özellikleri incelenerek karakterize edildi. Suşun karakterizasyonu, inokulumun hazırlanması ve mikrobiyolojik incelemeler Ankara Üniversitesi Veteriner Fakültesi Mikrobiyoloji Anabilim Dalı'nda yapıldı.

Deneysel enfeksiyonun oluşturulması: Hayvanlar 3 gruba ayrılarak, 3 ayrı yolla etken verildi. Her grupta 12'si deneme, 2'si kontrol olmak üzere 14 tavşan bulunmaktadır. Birinci gruptaki deneme hayvanlarına intranasal, ikinci gruptakilere intratraheal ve üçüncü gruptakilere ise intravenöz yolla etken verildi. Kontrol gruplarına ise aynı yollarla serum fizyolojik verildi. Intranasal inokulasyon grubundaki deneme tavşanlarının her bir burun deligine iğnesiz enjektör yardımı ile 0.5×10^8 CFU/ml dozunda 0.5'er ml bakteri süspansiyonu damlatılarak inokülasyon yapıldı. Kontrollerin burun deliklerine ise aynı miktarda serum fizyolojik damlatıldı. Intratraheal inokulasyon grubundaki 12 adet deneme tavşanının Rompun-Ketalar anestezisi altında boyun altı bögesinin traş ve dezenfeksiyonu yapıldıktan sonra 0.5

cm uzunluğunda ensize edildi. Bu bölgedeki trahea halkaları arasına bir ensizyon daha yapıldı. Plastik tüp traheanın bifurkasyon noktasına kadar ilerletilerek 0.5×10^8 CFU/ml dozunda 0.5 ml bakteri süspansiyonu inoküle edildi. Bu gruptaki 2 adet kontrol tavşanına ise yine aynı yol ile 0.5 ml serum fizyolojik verildi. İntravenöz inokülasyon grubundaki 12 adet deneme tavşanının kulak venasına 0.5×10^7 CFU/ml dozunda 0.5 ml bakteri süspansiyonu enjekte edildi. Bu gruptaki kontrollere ise aynı yol ile aynı miktarda serum fizyolojik verildi.

Deneme Planı: Belli inokülasyon yollarıyla enfekte edilen tavşanlar ve kontrolleri gözlem altında tutuldu. Deneme hayvanlarının 4'erli gruplar halinde inokülasyon sonrası 6., 10. ve 14. günlerde intramusküler süksinil kolin (Lysthenon-fort amp., Organon, Teknika) enjekte edilerek ötanazi ile uyuşturulması ve nekropsilerinin yapılması planlandı.

Mikrobiyolojik inceleme: Mikrobiyolojik inceleme amacı ile tavşanlardan akciğer, karaciğer, dalak, böbrek ve kalp alındı ve % 5-7'lik koyun kanlı agara direkt yöntemle ekimleri yapılarak 37 °C'de 24-48 saat inkübe edildi. Süre sonunda kültürler *Pasteurella multocida* kolonileri yönünden muayene edildi.

Histopatolojik inceleme için doku kesitlerinin hazırlanması: İnokülasyon sonrasında belirlenen zamanlarda nekropsileri yapılan tavşanlardan burun mukozası, trahea, akciğer, kalp, karaciğer, dalak, böbrek, bağırsak, mide, idrar kesesi, beyin, beyincik, lenf düğümü, adrenal bez ve pankreas alındı. Örnekler tamponlu %10'luk formalinde tespit edilip 24 saat sonra trimlendi ve postfiksasyonları yapıldı. Parafin emdirilip, yine parafinde bloklandı. Mikrotom ile 5-6 µm kalınlığında üçer adet kesit alındı. Kesitlere Hematoxylin-Eosin (HE) boyama yapıldı. Tüm preparatlar ışık mikroskopunda incelendi.

Elektron mikroskopik inceleme için doku kesitlerinin hazırlanması: Akciğerlerden alınan 1 mm³ hacimli doku örneklerinin %2.5 glutaraldehid- %4 paraformaldehid solüsyonunda 24 saat süre ile ilk tespiti yapıldı. Doku örnekleri 0.1 M kakodilat tamponunda her 15 dakikada bir değiştirmek suretiyle 3 saat süre ile yıkandı ve %2'lik ozmik asit ile 2 saat süreyle tespit edildi. Kakodilat tamponu ile iki kez 10'ar dakika yıkanan doku örnekleri %30, %50 ve %70'lik alkollerde 15'er dakikalık sürelerle ikişer kez tutulup %70'lik alkolde 1 gece buz dolabında bırakıldı. Doku örneklerine 2 saat süre ile buz dolabında uranil boyası yapıldı ve %90'luk alkol, absolu alkol ve propilen oksit 2'şer kez 30'ar dakika tutuldu. Araldit-propilen oksit karışımında 1 gece buz dolabında saklandı, sonra araldit 2 saat süre ile oda ısısında rotatorda döndürüldü ve araldit ile bloklama yapıldı. Bloklardan yarı ince kesitler alınıp, toluidin mavisi ile boyanarak ışık mikroskopta incelendi. İstenilen bölgelerin ince kesitleri alınarak uranil asetat ve kurşun sitrat ile boyandı ve Zeiss-9S elektron mikroskopunda incelendi.

Bulgular

Klinik bulgular: Enfeksiyonu takip eden günlerde tavşanlar normal görünürken ölümlerinin 24 saat öncesinde iştahsızlık, durgunluk, tüylerde kabarma, bazlarında hafif solunum güçlüğü bulguları ve ileri dönemde ani ölümler görüldü. Ötanazi yapılan tavşanların hiçbirinde klinik bulgu saptanmadı.

Pasteurella multocida'nın intranasal olarak inoküle edildiği 12 tavşanın 5'i (%41) öldü. Diğerlerinin 4'üne onuncu günde ve 3'üne de on dördüncü günde ötanazi yapıldı. *Pasteurella multocida*'nın intratraheal olarak inoküle edildiği 12 tavşanın 10'u (%83) öldü. Bu gruptaki 1 tavşana onuncu günde ve 1'ine de on dördüncü günde ötanazi yapıldı. *Pasteurella multocida*'nın intravenöz olarak inoküle edildiği 12 tavşanın 3'ü (%25) inokülasyon sonrası altıncı günde öldü. Bir tavşana altıncı günde, 4'üne onuncu günde ve 4'üne de on dördüncü günde ötanazi yapıldı. Kontrol grubunlarındaki tavşanlara ise on dördüncü günde ötanazi uygulandı.

Mikrobiyolojik bulgular: Denemelere başlamadan önce alınan burun svaplarının *Pasteurella multocida* yönünden mikrobiyolojik incelemesi negatifti. Nekropsileri yapılan tavşanların iç organlarından yapılan mikrobiyolojik ekimler sonrasında intranasal inokülasyon yapılan tavşanların 8'inde, intratraheal inokülasyon yapılan tavşanların 10'unda ve intravenöz inokülasyon yapılan tavşanların ise 8'inde *Pasteurella multocida* izole edildiği Ankara Üniversitesi Veteriner Fakültesi Mikrobiyoloji Anabilim Dalı tarafından bildirildi.

Makroskopik bulgular: Tüm lezyonlar trahea, akciğer, plöra ve perikardda görüldü; karaciğer, dalak, böbrek, meninks ve pankreaslardı konjesyon dışında belirgin bir lezyona rastlanmadı. Akciğerlerde makroskopik olarak konjesyon, ödem, kanama ve konsolidasyon belirlendi. Plöritis akciğeri kısmen ya da tamamen kaplayan açık sarı renkte bir eksudat ile karakterize idi (Şekil 1). Perikarditiste perikardda benzeri bir eksudata rastlandı (Şekil 1).

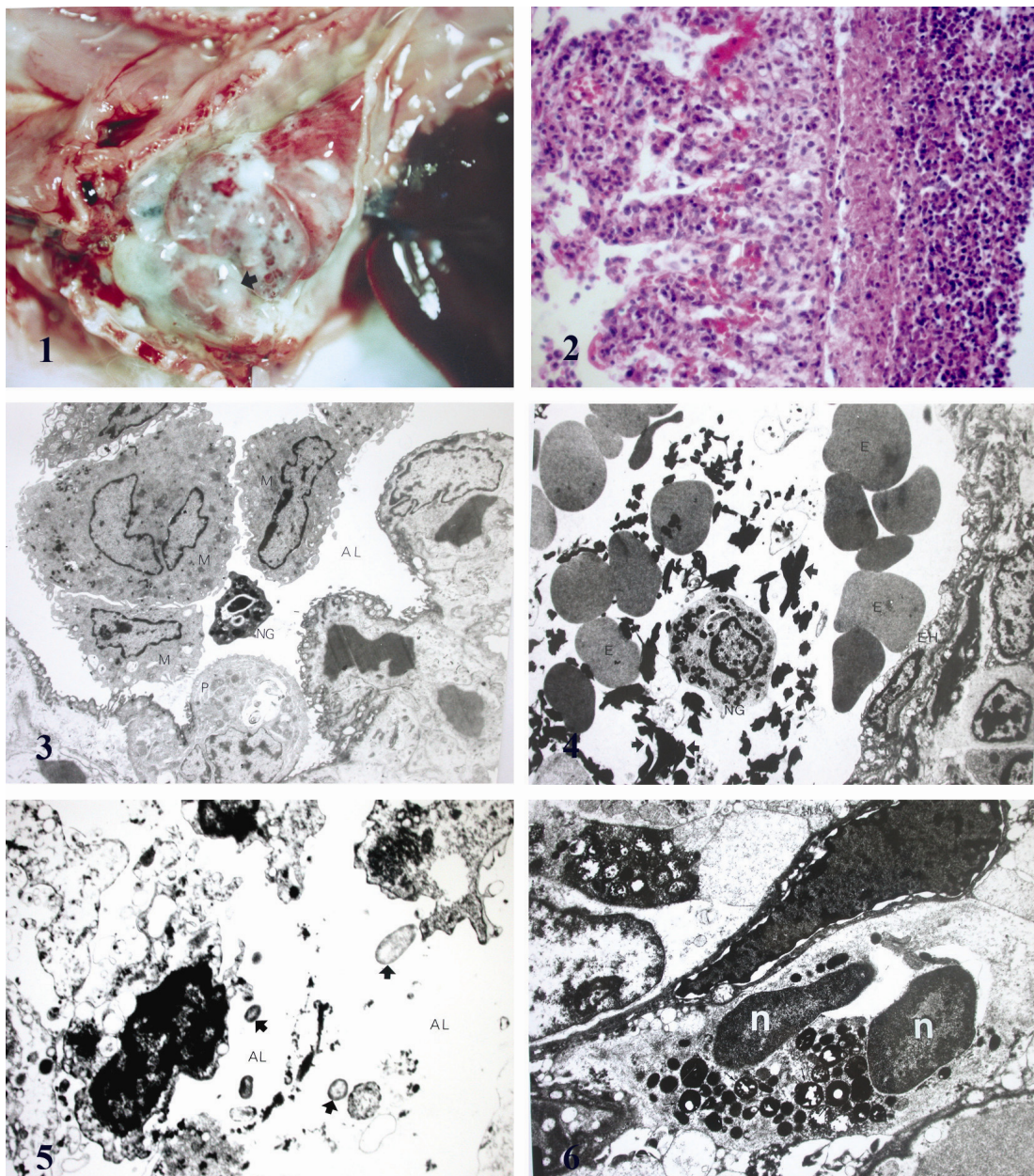
İntranazal inokülasyon deneme grubundaki tavşanlardan 1'inde traheitis (%8) ve 6'sında pnömoni (%50) gözlandı. Pnömonili 6 tavşanın ikisinde pnömoni ile birlikte plöritis (%17) de şekeitenmiş. Plöritis bulgularına rastlanan bir tavşanda perikarditis (% 8) ve göğüs boşluğunun sağ bölümünde pyotoraks (%8) dikkati çekti. İntratraheal inokülasyon deneme grubundaki tavşanların dokuzunda pnömoni (%75), 3'tünde plöritis (%25), 2'sinde göğüs boşluğunun sol bölümünde pyotoraks (%17) ve 2'sinde de perikarditis (%17) görüldü. Dokuzuncu günde ölen 1 tavşanda pyotoraks, plöritis ve perikarditis birlikte görüldü. İntravenöz inokülasyon deneme grubundaki 12 deneme hayvanının sadece 2'sinin (%17) akciğerlerinde pnömoni lezyonlarına rastlandı. Her üç gruptaki kontrol tavşanları makroskopik olarak tümüyle normaldi.

Mikroskopik bulgular: Her üç gruptaki pnömonili tavşanların akciğerleri incelendiğinde benzer lezyonlara rastlandı. Lezyonlu akciğerlerde, alveol lumenlerinde çoğunuğu nötrofil granülositlerin ve daha az olarak makrofajların yer aldığı yangusal hücrelere ve fibrin kitlelerine rastlandı. Bronşiol epitellerinin yer yer ya da tümüyle nekroza uğradığı görüldü. Bronş ve bronşiol lumenleri normal ve dejeneren nötrofil granülositler ve dökülmüş epitel hücreleriyle dolu durumdaydı. Özellikle intratraheal ve daha az olarak da intranasal grupta olmak üzere pnömonili akciğerlerde çok sayıda fokal parenkim nekrozu şekeitenmiş. Plöritis şekeiten tavşanlarda plöra üzerinde yaygın şekilde fibrin kitlelerine ve nötrofil granülositlere rastlandı (Şekil 2). Perikarditis şekeiten tavşanlarda fibrin kitlelerine ve nötrofil granülositlere perikard üzerinde dikkat çekti. On dördüncü günde nekropsileri yapılan kontrol tavşanlarda herhangi bir histopatolojik bulgu dikkati çekmedi.

Lezyonlar yayılım özelliğine göre değerlendirildiğinde intranasal inokülasyon grubundaki tavşan akciğerlerinde, 3 tavşanda bronkopnömoninin ve 3 tavşanda ise lober pnömoninin geliştiği, intratraheal inokülasyon grubunda 9 tavşanda lober pnömoninin ve intravenöz inokülasyon grubundaki tavşanlardan birinde bronkopnömoninin ve birinde de lober pnömoninin geliştiği görülmüştür. Eksudatın tipi göz önüne alınarak yapılan değerlendirmede her üç gruptaki pnömonilerin fibrinopurulent ve nekrotik karakterde oldukları saptandı.

Elektron mikroskopik bulgular: Elektron mikroskopik bulgular her üç gruptaki pnömoni şekeiten tavşanlarda benzer özellikteydi. Bronşiol lumenlerinde normal ve dejeneren nötrofil granülositler, makrofajlar ve serbest eritrositler görüldü. Konsolidasyon alanlarının ultrastruktural incelemelerinde alveol lumenlerinin değişen miktarlarda nötrofil granülosit ve makrofajlarla dolu olduğu dikkati çekti. Bu hücrelerin sitoplasmalarında çok sayıda fagositik vakuol ve elektron yoğun lizozom gözlandı. Aktif makrofajlarda oldukça fazla psödopod bulunmaktaydı (Şekil 3). Intravasküler, intraalveoler ve interstiyel yoğun fibrin kitlelerine rastlandı. Fibrin irili ufaklı elektron yoğun ipliksi yapılar halindeydi. Damar endotellerinde az sayıda vakuollerin olduğu dejeneratif değişiklikler dikkati çekti (Şekil 4).

Alveol lumenlerinde serbest halde ya da nötrofil granülositler tarafından fagosit edilmiş durumda fagozomlar ya da fagolizozomlar içinde *Pasteurella multocida*'lar görüldü (Şekil 5). *Pasteurella multocida*'lar yaklaşık 0.3-0.5 μm çapında ve 0.6-1.2 μm uzunluğunda olup kokobasil şeclindeydi. Birçok bakterinin sitoplazmasında elektron-lusent alanlar mevcuttu (Şekil 6). Etkenlere makrofajlarda da rastlandı. Alveol lumenlerinde yoğun miktarlarda hücre artık ürünleri yer almaktaydı. Tip II pnömonositlerde sayıca normale göre hafif bir artışla karşılaşıldı. Çoğu tip II pnömonositteki lamellar cisimciklerin yapısal olarak bozulduğu gözlandı.



Şekil 1. Göğüs boşluğu fibrinopurulent bir içerikle dolu. Akciğerde hafif konjesyon ve amfizem alanları. Fibrinopurulent plöritis ve perikarditis (ok).

Figure 1. Thoracal cavity filled fibrinopurulent exudate. A mild congestion and emphysema in lungs. Fibrinopurulent pleuritis and pericarditis (arrow).

Şekil 2. İntraheal inokülasyon sonrası 9. gün. Fibrinopurulent plöritis. HE, x320.

Figure 2. Ninth day after intratracheal inoculation. Fibrinopurulent pleuritis. HE, x320.

Şekil 3. İntraheal inokülasyon sonrası 10. gün. Alveol lumeninde çok sayıda makrofaj (M) ve bir adet nötrofil granülosit (NG). (AL)Alveol lumeni, (P) tip II pnömonosit. x3700.

Figure 3. Tenth day after intratracheal inoculation. Numerous macrophages (M) and neutrophyl granulocyte (NG) in (AL) alveolar lumen (P) type II pneumonocyte. X3700.

Şekil 4. İnnazal inokülasyon sonrası 5. gün. İnvasküler fibrin oluşumları (oklar). (E) Eritrosit, (NG) nötrofil granülosit, (EH) endotel hücresi. x3600.

Figure 4. Fifth day after intranasal inoculation. Intravascular fibrine (arrows), (E) erythrocyte, (NG) neutrophyl granulocyte, (EH) endothelial cell. X3600.

Şekil 5. İnnazal inokülasyon sonrası 10. gün. Alveol lumeninde serbest halde görülen *Pasteurella multocida*'lar (oklar). (AL) Alveol lumeni. x6400.

Figure 5. Tenth day after intranasal inoculation. Free *Pasteurella multocidae* (arrows) in alveolar lumen. (AL) Alveolar lumen. X6400.

Şekil 6. İnnazal inokülasyon sonrası 4. gün. Bir nötrofil granülositin sitoplazmasında görülen *Pasteurella multocida*'lar (oklar). Bakterilerin sitoplazmalarında elektron-lusent bölgeler. (n) Nukleus. x7600.

Figure 6. Fourth day after intranasal inoculation. Many bacteria in a cytoplasm of neutrophyl granulocyte (arrows). Electron-lucent areas in cytoplasm of bacteria. (n) Nucleus. X7600.

Intravenöz inokülasyon grubunda pnömoni şekillenmemiş fakat hipereminin olduğu tavşanlardaki akciğerlerin elektron mikroskopik incelemelerinde de interalveoler kapillarlarda çok sayıda nötrofil granülosite ve bunların sitoplazmalarında fagozomlar ya da fagolizozomlar içinde normal ya da dejeneratif *Pasteurella multocida*'lara rastlandı.

Tartışma ve Sonuç

Pastörellozis yalnızca çiftlik ve araştırma tavşanlarının hastalanmasına neden olarak entansif yetiştiğinde sürekli ekonomik kayıplar oluşturmakla kalmayıp enzootik seyretmesi ve zoonotik olmasından dolayı insan sağlığı için de ciddi tehdit oluşturan bir hastalıktır (Redondo ve ark., 1990).

Bu çalışmada, *Pasteurella multocida*'nın intranazal, intratraheal ve intravenöz inokülasyonları ile tavşanlarda oluşturulan pastörellozisin patolojik bulguları makroskopik, mikroskopik ve elektron mikroskopik olarak değerlendirildi. Deneme gruplarındaki tavşanlarda inokülasyonu izleyen günlerde hastalık bulgusuna rastlanmadı fakat ölümlerinden 24 saat öncesinde iştahsızlık, durgunluk, tüylerde kabarma ve solunum güçlüğü bulguları saptandı. Bu bulgular diğer araştırmacılar tarafından bildirilen bulgular ile benzerlik göstermektedir (Dillehay ve ark., 1990; Percy ve ark., 1986).

Pastörellozise bağlı doğal pnömoni salgınlarında ölüm oranı % 4-50 arasında bildirilmiştir (DeLong ve Manning, 1994; Hagen, 1958; Ostler, 1961). Deneysel enfeksiyonlarda bu oran (% 17-100) daha yüksektir (Flatt ve Dungworth, 1971b; Glavits ve Magyar, 1990; Percy ve ark., 1986). Yapılan çalışmalarda ölümlerin genel olarak birinci ve dokuzuncu günler arasında yoğunlaşlığı belirtilmiştir (Sokkar ve ark. 1987; Webster, 1925). Bu çalışmada ölümler dördüncü ve on dördüncü günler arasında dağılım gösterdi, fakat ölümlerin yoğunluk kazandığı bir aralık yoktu. Ölüm oranlarındaki bu geniş dağılımin konakçının direnci, çevre koşulları, etkenin virülsesi ve dozundaki farklılıklardan kaynaklandığı ileri sürülmüştür (DeLong ve Manning, 1994). Sokkar ve ark. (1987) ölüm oranlarındaki farklılığın inokulumun veriliş yoluna ya da dozuna bağlı olmadığını belirtmişlerdir. Bunu *Pasteurella multocida*'nın değişik suşlarının patojenik karakterlerindeki farklılığa bağlamışlar ve konakçı ile etken arasındaki kontakt ilişkisinin de bakteri virülsünü etkilediğini ileri sürmüşlerdir. Bu çalışmada *Pasteurella multocida* 3:A serotipinin hemen hemen eşit dozları inokule edilmesine ve tavşanlara aynı koşullarda bakılmasına rağmen gruplar arasında patolojik bulguların şiddeti ve ölüm oranları farklı oldu. Bu durum farklılığa konakçı etken arasındaki ilişki yanında inokülasyon yolunun da neden olabileceği fikrini kuvvetlendirmiştir.

Çalışmamızda intranazal ve intravenöz deneme gruplarından birer tavşanda traheitis rastlandı. Glavits ve Magyar (1990) *Pasteurella multocida* ile intranazal

olarak enfekte ettiği tavşanlarda traheitis geliştiğini bildirmiştirlerdir.

Bu çalışma ile tavşanlarda intranazal, intratraheal ve intravenöz inokulasyon yoluyla pnömoni şekillendiği ancak oranlarının farklılık gösterdiği belirlendi. Doğal ve deneysel pastörellozis olgularında akciğer lezyonlarının sıkılıkla gözlendiği bildirilmiştir (Hagen, 1958; Percy ve ark. 1986; Webster, 1925). Bu çalışmalar etken vücuda hangi yolla verilirse verilsin pnömoni oluşabildiğini fakat etkenin veriliş yolunun pnömoni şekillenme oranını etkilediğini göstermiştir.

Sunulan çalışmada daha önce yapılan çalışmalar (Percy ve ark., 1986; Sokkar ve ark., 1987; Webster, 1925) ile uyumlu olarak konsolidasyon alanlarının kranioventral ya da diffuz dağılım gösterdiği fakat etkenin veriliş yoluna göre dağılımın her çalışmada farklılık gösterdiği bu nedenle de genelleme yapmanın mümkün olmadığı sonucuna varıldı.

Percy ve ark. (1986) *Pasteurella multocida* serotip 3:A ile intratraheal olarak enfekte tavşanlarda fibrinopurulent pnömoniye rastladıklarını rapor etmişlerdir. Sokkar ve ark. (1987) *Pasteurella multocida* ile intranazal olarak enfekte etkileri tavşanlarda purulent nekrotik bronkopnömoni yanında bazen serofibrinöz ya da fibrinopurulent bronkopnömoniye rastlandığını belirtmişlerdir. Flatt ve Dungworth (1971b) *Pasteurella multocida* ile intratraheal enfekte etkileri tavşanlarda fibrinopurulent nekrotik pnömoni görüldüğünü belirtmişlerdir. Sunulan çalışmada literatürle uyumlu olarak akciğerlerdeki yangı tipi göz önüne alınarak yapılan değerlendirmede, her üç inokülasyon deneme grubundaki pnömoni tipinin zaman bağlı bir farklılık olmaksızın fibrinopurulent ve nekrotik özellikte olduğu görüldü.

Farklı ırk ve inokulasyon yolları kullanılarak yapılan deneysel pastörellozis çalışmaları sonucunda fibrinopurulent plöritis, perikarditis ve pyotoraks rapor edilmiştir (Percy ve ark., 1986; Sokkar ve ark., 1987; Dillehay ve ark., 1990). Benzer bulgulara bizim çalışmamızda da rastlandı. Pyotoraks, plöritise ve perikarditis şekillenme oranlarının bizim çalışmamızda %25'leri geçmezken literatürde %66'lara kadar yükseldiği rapor edilmiştir. Bu geniş dağılım oranının etkenin veriliş yolu, dozu, tavşanın ırkı ve etkenin virulansının farklı olması gibi faktörlerden kaynaklanmış olabileceği düşünülmektedir.

Tavşan pastörellozisinde akciğer lezyonları elektron mikroskopik olarak incelenmiştir (Al-Haddawi ve ark., 2000a,b; Redondo ve ark., 1990). Al-Haddawi ve ark. (2000a) intranazal inkulasyon sonucunda etkenin burun mukozası ve akciğer alveol epitelleri, endotel hücreleri ve intersitisyal hücrelerine yerleşerek yapısal değişikliklere neden olduğunu ve nötrofil granülositler ve makrofajların doku hasarında önemli rol oynadıklarını belirtmişlerdir.

Al-Haddawi ve ark. (2000b) *in-vitro* denemelerde *Pasteurella multocida* serotip D:1'in trachea ve aorta,

serotip A:3'ün ise akciğerlere daha iyi tutunduğunu belirtmişlerdir.

Al-Haddawi ve ark. (2001) ayrıca *Pasteurella multocida* serotip D ile intranasal olarak inoküle ettiği tavşanların burun ve trachea mukozalarındaki değişiklikleri elektron mikroskopik olarak incelemişlerdir. Buzağı ve farelerde de pastörella pnömonilerinin ultrastrüktürel çalışmaları mevcuttur (Pace ve ark., 1994; Whiteley ve ark., 1991). Bu çalışmadaki her üç deneme grubunda bulunan tavşan akciğerlerinin elektron mikroskopik bulguları benzer özelliktedir. Çalışmamızda dikkat çeken bir bulgu da yoğun fibrin kitlelerinin varlığıydı. Fibrin kitleleri kapillar lumenlerinde, alveol lumenlerinde ve interalveoler dokuda gözlendi. Whiteley ve ark. (1991) tarafından da tanımlanan kapillar lumenlerinde fibrin kitlelerinin varlığı damar içi pihtlaşmanın bir bulgusu olarak değerlendirildi.

Elektron mikroskopik incelemelerimizde *Pasteurella multocida*'lar alveol lumenlerindeki nötrofil granülositler ile makrofajların ve kapillar lumenlerindeki nötrofil granülositlerin sitoplazmalarında fagozomlar ya da fagolizozomlar içinde normal ya da dejenera formda gözlendi. Etkenlerin nötrofil granülositlerin sitoplazmalarındaki varlığı diğer araştırmacılar tarafından da bildirilmiştir (Pace ve ark., 1994; Redondo ve ark., 1990, 1993; Whiteley ve ark., 1991).

Sonuç olarak, deneme gruplarındaki ölüm oranları, pnömoni şekillenme oranları ve pnömoni şiddetleri kıyaslandığında en etkin inokülasyon yolunun literatürle uyumlu olarak intratraheal yol olduğu, daha az olarak da intranasal yol olduğu ve intravenöz yol ise en az etkili inokülasyon yolu olduğu belirlendi. Bu çalışma sonucunda, her ne kadar doğal bir yol olmasa da, *Pasteurella multocida* ile tavşanlarda akciğer lezyonlarının oluşturulması ve incelenmesi çalışmalarında intratraheal inokülasyon yolunun etkin bir başarı sağladığı görüldü.

Kaynaklar

1. Alexander MM, Sawin PB, Roehm DA (1952): *Respiratory infection in the rabbit: An enzootic caused by Pasteurella lepiseptica and attempts to control it by vaccination.* J Infect Dis, **90**, 30-33.
2. Al-Haddawi MH, Jasni S, Israf DA, Zamri-Saad M, Mutualib AR, Sheikh-Omar AR (2001): *Ultrastructural pathology of nasal and tracheal mucosa of rabbits experimentally infected with Pasteurella multocida serotype D:1.* Res Vet Sci, **70**, 191-197.
3. Al-Haddawi MH, Jasni S, Zamri-Saad M, Mutualib AR, Son R, Sheikh-Omar AR (2000a): *Ultrastructural observation of nasal and pulmonary intracellular Pasteurella multocida A:3 in rabbits.* Vet Res Commun, **24**, 153-167.
4. Al-Haddawi MH, Jasni S, Zamri-Saad M, Mutualib AR, Zulkifli I, Son R, Sheikh-Omar AR (2000b): *In vitro study of Pasteurella multocida adhesion to trachea, lung and aorta of rabbits.* Vet J, **159**, 274-281.
5. DeLong D, Manning PJ (1994): *Bacterial disease*, pp. 131-170. In Manning PJ, Ringler DH, Newcomer CE The Biology of Laboratory Rabbit. 2nd edition. Academic Press, Inc., Orlando, Fla.
6. Dillehay DL, Paul KS, Digiacomo RF, Chengappa MM (1990): *Pathogenicity of Pasteurella multocida A:3 in Flemish Giant and New Zealand White rabbits.* Lab Anim, **25**, 337-341.
7. Flatt RE, Dungworth DL (1971a): *Enzootic pneumonia in rabbits: Naturally occurring lesions in lungs of apparently healthy young rabbits.* Am J Vet Res, **32**, 321-326.
8. Flatt RE, Dungworth DL (1971b): *Enzootic pneumonia in rabbits: Microbiology and comparison with lesions experimentally produced by Pasteurella multocida and a chlamydial organism.* Am J Vet Res, **32**, 627-637.
9. Glavits R, Magyar T (1990): *The pathology of respiratory infection with Pasteurella multocida and Bordetella bronchiseptica in rabbits.* Acta Vet Hung, **38**, 211-215.
10. Hagen KW (1958): *Enzootic pasteurellosis in domestic rabbits. I. Pathology and bacteriology.* J Am Vet Med Assoc, **133**, 77-80.
11. Ostler DC (1961): *The disease of broiler rabbits.* Vet Rec, **73**, 1237-1253.
12. Pace LW, Turk JR, Corstvet RE, Enright FM, Henk W (1994): *Induction of acute bronchopneumonia in mice by intrabronchial inoculation of Pasteurella haemolytica serotype 1.* Can J Vet Res, **58**, 79-82.
13. Percy DH, Bhasin JL, Rosendal S (1986): *Experimental pneumonia in rabbits inoculated with strains of Pasteurella multocida.* Can J Vet Res, **50**, 36-41.
14. Redondo E, Roncero V, Masot AJ, Duran E, Gázquez A (1990): *Experimental rabbit pneumonic pasteurellosis: an ultrastructural and morphometric study.* Acta Med Vet, **36**, 3-20.
15. Redondo E, Masot AJ, Gázquez A, Roncero V, Durán E, Piriz S (1993): *Experimental reproduction of acute pneumonic pasteurellosis in rabbits.* Histol Histopathol, **8**, 97-104.
16. Sokkar SM, Mohammed MA, Fetaih H (1987). *Pathogenesis of Pasteurella multocida in experimentally infected rabbits.* Arch Exp Vet Med, **41**, 516-521.
17. Webster LT (1925): *Epidemiological studies on respiratory infections of the rabbit. VII. Pneumonia associated with Bacterium lepisepticum.* J Exp Med, **43**, 555-572.
18. Whiteley LO, Maheswaran SK, Weiss DJ, Ames TR (1991): *Alteration in pulmonary morphology and peripheral coagulation profiles caused by intratracheal inoculation of live and ultraviolet light-killed Pasteurella haemolytica A1 in calves.* Vet Pathol, **28**, 275-285.

Geliş tarihi: 04.09.2009 / Kabul tarihi: 20.04.2010

Yazışma Adresi:

Doç. Dr. Murat Yarım
Ondokuz Mayıs Üniversitesi,
Veteriner Fakültesi, Patoloji Anabilim Dalı,
55139 Kurupelit, Samsun